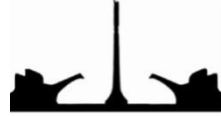


دسترسی در سایت <http://inrm.srbiau.ac.ir>

سال ششم، شماره بیست و هشتم، بهمن و اسفند ۱۳۹۹

شماره شاپا: ۵۸۸-۲۵۸۸X



پژوهش‌های نوین در ریاضی

دانشگاه آزاد اسلامی، واحد علوم و تحقیقات

مکمل گراف M -اشتراکی ایدهآل‌های یک حلقه

*فریده حیدری

گروه ریاضی، واحد کرج، دانشگاه آزاد اسلامی، کرج، ایران

تاریخ ارسال مقاله: ۱۳۹۸/۰۳/۱۹ تاریخ پذیرش مقاله: ۱۳۹۸/۱۲/۱۰

چکیده

فرض کنید R یک حلقه جابه‌جایی یکدار و M یک R -مدول یکانی باشد. همچنین فرض کنید $I(R)$ مجموعه همه ایدهآل‌های غیربدپنهانی R باشد. مکمل گراف M -اشتراکی ایدهآل‌های R که با $\Gamma_M(R)$ نشان داده می‌شود، گرافی است با مجموعه رئوس $I(R)$ و دو رأس متمایز I و J مجاورند هرگاه $IM \cap JM = \{0\}$ در این مقاله، برای هر R -مدول ضربی M قطر و کمر $\Gamma_M(R)$ تعیین شده است. همچنین، نشان می‌دهیم اگر $m, n > 1$ دو عدد صحیح باشند و \mathbb{Z}_n -مدول باشد، مکمل گراف \mathbb{Z}_n -اشتراکی ایدهآل‌های \mathbb{Z}_m تام ضعیف است.

واژه‌های کلیدی: قطر، کمر، تام ضعیف، مدول ضربی.

که آن را با $\text{gr}(G)$ نشان می‌دهیم، طول کوتاهترین دور در G است و اگر G شامل هیچ دوری نباشد، قرار می‌دهیم $\text{gr}(G) = \infty$ گرافی که هیچ دوری نداشته باشد، جنگل نامیده می‌شود. یک خوشه در گراف G ، یک زیرگراف کامل از G است. خوشه W در G را ماکریم گویند هرگاه در بین خوشه‌های G بیشترین تعداد رأس را داشته باشد. تعداد رئوس یک خوشه ماکریم در گراف G را عدد خوشه‌ای نامیده و آن را با نماد $\omega(G)$ نمایش می‌دهند. عدد رنگی گراف G که با $\chi(G)$ نشان داده می‌شود، کمترین تعداد رنگی است که بتوان به رئوس G نظیر کرد طوری که رنگ هیچ دو رأس مجاوری یکسان نباشد. واضح است که همواره داریم $\chi(G) \geq \omega(G)$. گراف G را تام ضعیف نامند هرگاه $\chi(G) = \omega(G)$. شایان ذکر است که محاسبه عدد خوشه ای و یا عدد رنگی یک گراف، مسئله‌ای NP-کامل است.

گراف M -اشتراکی ایدهآل‌های R ، $G_M(R)$ ، نخستین بار در مقاله [11] معرفی شده و برخی ویژگی‌های مهم آن مورد مطالعه قرار گرفته است. از جمله ثابت شده است $\text{diam}(G_M(R)) \in M$ برای هر R -مدول ضربی $\text{gr}(G_M(R)) \in \{0, 1, 2, \infty\}$ و $\text{ann}(G_M(R)) \in \{3, \infty\}$ در این مقاله، مکمل گراف M -اشتراکی ایدهآل‌های R که با $\Gamma_M(R)$ نشان داده می‌شود، را بررسی خواهیم کرد. برای هر R -مدول ضربی M نشان می‌دهیم اگر $\Gamma_M(R)$ رأس ایزوله نداشته باشد، همبند است. به علاوه نشان می‌دهیم $\text{diam}(\Gamma_M(R)) \in \{0, 1, 2, 3, \infty\}$ و $\text{gr}(\Gamma_M(R)) \in \{3, 4, \infty\}$ ۱ دو عدد صحیح باشد و \mathbb{Z}_m -مدول باشد، قطر و کمر (\mathbb{Z}_m) که برای اختصار با نماد $\Gamma_{\mathbb{Z}_n}(\mathbb{Z}_m)$ نشان داده شده را رده‌بندی کرده و ثابت می‌کنیم این گراف تام ضعیف است.

۲- مکمل گراف M -اشتراکی

این بخش را با تعریف زیر شروع می‌کنیم.

تعریف ۱-۲. فرض کنید R یک حلقه و M یک R -مدول ناصرف باشد. مکمل گراف M -اشتراکی ایدهآل‌های R که با $\Gamma_M(R)$ نشان داده می‌شود، گرافی است با

۱. مقدمه

مقالات زیادی در باب گراف‌های وابسته به ساختارهای جبری بهویژه حلقه‌ها به چاپ رسیده است که برای نمونه می‌توان به مراجع [1-7] اشاره نمود. یکی از مهم‌ترین گراف‌های وابسته به حلقه‌ها، گراف اشتراکی ایدهآل‌های یک حلقه و مکمل آن است. البته این گراف نه تنها برای حلقه‌ها که برای دیگر ساختارهای جبری نظریه‌گروهها و مدول‌ها نیز تعریف شده و در مقالات متعددی همچون [8, 9, 10] مورد بررسی قرار گرفته است. در این مقاله، یک حلقه جایی یکدار و M یک R -مدول یکانی ناصرف است. منظور از یک ایدهآل غیربدیهی R ، ایدهآل I ناصرف و محض R است. همچنین $I(R)^*$ معرف مجموعه همه ایدهآل‌های غیربدیهی R می‌باشد. فرض کنید M یک R -مدول باشد. M یک مدول ضربی نامیده می‌شود هرگاه هر زیرمدول آن به شکل IM باشد $\text{ann}(M)$ که ایدهآلی از R است. پوچساز M با نماد $\text{ann}(M)$ نشان داده می‌شود. M را یک مدول باوفا می‌نامیم اگر $\text{ann}(M) = \{0\}$. همچنان که معمول است، \mathbb{Z}_n مشخص کننده حلقه اعداد صحیح به پیمانه n می‌باشد. کوچکترین مضرب مشترک دو عدد صحیح a و b را با نماد $[a, b]$ نشان می‌دهیم و می‌نویسیم $a|b$ هرگاه b مضربی از a باشد.

به گرافی که هیچ یالی نداشته باشد، گراف پوج اطلاق می‌شود. گراف پوج n رأسی را با \bar{K}_n نشان می‌دهیم. همچنین یک گراف دوبخشی کامل با دو بخش X و Y که $|X| = m$ و $|Y| = n$ را با نماد $K_{m,n}$ نمایش می‌دهیم. اجتماع مجزای دو گراف G و H را با نماد $G \cup H$ نشان می‌دهیم. به رأسی که درجه اش صفر باشد، رأس ایزوله گوییم. گراف G را همبند گویند هرگاه بین هردو رأس متمایز آن یک مسیر وجود داشته باشد و در غیر این صورت آن را ناهمبند نامند. طول کوتاهترین مسیر بین دو رأس u و v از گراف G را فاصله این دو رأس نامیده و با نماد $d(u, v)$ نشان می‌دهند. اگر هیچ مسیری بین u و v نباشد، قرار می‌دهیم $d(u, v) = \infty$. قطر گراف G نیز با نماد $\text{diam}(G)$ نشان داده شده و برابر است با $\sup\{d(u, v) | u, v \in V(G)\}$. که در آن $V(G)$ مجموعه رئوس G است. کمر گراف G

می‌گیریم $I = \{0\}$ که تناقض است. پس K یک ایدهآل غیربدپنهان R است و به علاوه داریم
 $IM \cap KM \subseteq IM \cap I'M = \{0\}$,
و
 $JM \cap KM \subseteq JM \cap J'M = \{0\}$.

یعنی K به هر دو I و J متصل است. به این ترتیب اثبات کامل می‌شود. \square

در قضیه بعد نشان می‌دهیم برای هر R -مدول ضربی $. \text{gr}(\Gamma_M(R)) \in \{3, 4, \infty\}$, M

قضیه ۴-۲. فرض کنید R یک حلقه و M یک R -مدول ضربی نااصر باشد. اگر $\Gamma_M(R)$ شامل دور باشد، آنگاه $\text{gr}(\Gamma_M(R)) \leq 4$.

برهان. به روش برهان خلف، فرض کنیم $\text{gr}(\Gamma_M(R)) = g \geq 5$. فرض کنیم دور باشد ولی I_1, I_g, \dots, I_{g-2} به ترتیب رئوس این دور باشند. چون $I_1 M \cap I_1$ و I_{g-2} به هم وصل نیستند، پس $I_{g-2} M \neq \{0\}$. از آنجا که M یک R -مدول ضربی است، ایدهآل J از R وجود دارد که $JM = I_1 M \cap I_{g-2} M$. اگر $J = R$ ، آنگاه $I_1 M = M$ و چون $I_1 M \cap I_{g-2} M = \{0\}$ بنابراین $I_1 M \cap I_{g-2} M = \{0\}$ که نتیجه می‌دهد $I_1 M \cap I_g M = \{0\}$ در $\Gamma_M(R)$ تشکیل یک مثلث می‌دهند و این یک تناقض می‌باشد. پس J یک ایدهآل غیربدپنهان است. از طرف دیگر داریم $JM \cap I_g M \subseteq I_1 M \cap I_g M = \{0\}$ ، و $JM \cap I_{g-1} M \subseteq I_{g-2} M \cap I_{g-1} M = \{0\}$.

یعنی J به هر دو I_g و I_{g-1} وصل است. پس J, I_g, I_{g-1}, I_{g-2} یک مثلث در $\Gamma_M(R)$ است که تناقض می‌باشد. \square

فرض کنید $2 \leq m, n \in \mathbb{Z}_m$ دو عدد صحیح باشند. می‌دانیم \mathbb{Z}_n یک \mathbb{Z}_m -مدول است هرگاه $n|m$. اکنون به \mathbb{Z}_m -مطالعه مکمل گراف $\Gamma_M(R)$ -اشتراکی ایدهآل‌های

مجموعه رئوس $I(R)^*$ و دو رأس متمایز I و J $IM \cap JM = \{0\}$ مجاورند هرگاه واضح است که اگر M و N دو R -مدول یکریخت باشند، آنگاه $\Gamma_M(R)$ و $\Gamma_N(R)$ دو گراف یکسان خواهند بود.

تبصره ۲-۲. فرض کنید M یک R -مدول نااصر باشد بهطوری که $\text{ann}(M) \neq \{0\}$. در این صورت اگر I یک ایدهآل نااصر باشد که $I \subseteq \text{ann}(M)$ آنگاه I به همه رئوس دیگر $\Gamma_M(R)$ متصل است و لذا $\Gamma_M(R)$ یک گراف همبند خواهد بود. قضیه زیر نشان می‌دهد که برای هر R -مدول ضربی $. \text{diam}(\Gamma_M(R)) \in \{0, 1, 2, 3, \infty\}$, M

قضیه ۳-۲. فرض کنید R یک حلقه و M یک R -مدول ضربی نااصر باشد. اگر $\Gamma_M(R)$ رأس ایزوله نداشته باشد، آنگاه همبند است و به علاوه داریم $\text{diam}(\Gamma_M(R)) \leq 3$.

برهان. با توجه به تبصره ۲-۲، اگر داشته باشیم $\text{ann}(M) \neq \{0\}$ ، آنگاه خواهیم داشت $\text{diam}(\Gamma_M(R)) \leq 2$ مدول باوفا باشد و I و J دو رأس غیرمجاور در $\Gamma_M(R)$ باشند. چون $\text{ann}(M) \neq \{0\}$ دو رأس ایزوله ندارد، فرض کنیم I' و J' دو رأسی باشند که به ترتیب به I و J متصل‌اند یعنی $JM \cap I'M = \{0\}$ و $IM \cap I'M = \{0\}$.

اگر $I' = J'$ که مسأله حل است. در غیر این صورت دو حالت در نظر می‌گیریم.

حالت اول: $I' \cap J' = \{0\}$ در این صورت $J - I' - J'$ یک مسیر به طول ۳ بین I و J است.

حالت دوم: $I' \cap J' \neq \{0\}$ چون M یک R -مدول ضربی است، ایدهآل K از R وجود دارد که $KM = I'M \cap J'M$. توجه کنید که $I'M \cap J'M = M$ و بنابراین $I' = J'$. آنگاه $I' \cap J' = \{0\}$ و چون $I'M = M$ داشت $IM \cap I'M = \{0\}$ حال از $IM = \{0\}$ نتیجه $\text{ann}(M) = \{0\}$

قسمت (۱) به راحتی از قضیه ۵ مرجع [12] ثابت می‌شود. برای اثبات قسمت (۲)، دقت کنید که اگر $s \geq 3$ و $m = n = p_1 \cdots p_s$ آنگاه $d(p_1\mathbb{Z}_m, p_2\mathbb{Z}_m) = 3$ و برای اثبات قسمت (۳)، واضح است که اگر $m \neq n$ ، آنگاه $n\mathbb{Z}_m$ به همه رئوس دیگر $\Gamma_n(\mathbb{Z}_m)$ متصل است. \square

برای ردهبندی کمر گراف $\Gamma_n(\mathbb{Z}_m)$ ، توجه کنید که اگر n حداقل سه شمارنده اول متمایز داشته باشد، آنگاه $\frac{n}{p_3^{\beta_3}}\mathbb{Z}_m$ و $\frac{n}{p_2^{\beta_2}}\mathbb{Z}_m$ و $\frac{n}{p_1^{\beta_1}}\mathbb{Z}_m$ تشکیل یک مثلث می‌دهند و لذا در این حالت کمر گراف برابر ۳ است. اگر $p_2^{\beta_2}\mathbb{Z}_m$ و $p_1^{\beta_1}\mathbb{Z}_m$ آنگاه $m \neq n$ و $n = p_1^{\beta_1}p_2^{\beta_2}$ در $n\mathbb{Z}_m$ رئوس یک مثلث در $\Gamma_n(\mathbb{Z}_m)$ است. پس در این حالت نیز کمر گراف برابر ۳ خواهد بود. درصورتی که $X = \{p_1^{r_1}p_2^{r_2}\mathbb{Z}_m \mid 0 \leq r_1 < \alpha_1\}$ ، $Y = \{p_1^{\alpha_1}p_2^{r_2}\mathbb{Z}_m \mid 0 \leq r_2 < \alpha_2\}$

۹

$$Z = \{p_1^{r_1}p_2^{r_2}\mathbb{Z}_m \mid 0 \leq r_1 < \alpha_1, 0 \leq r_2 < \alpha_2\} - \{\mathbb{Z}_m\}.$$

به وضوح رئوس Z همگی ایزوله هستند. همچنین رئوس X و Y تشکیل یک گراف دوبخشی کامل می‌دهند. پس در این حالت، $\Gamma_n(\mathbb{Z}_m) = \bar{K}_{\alpha_1\alpha_2-1} \cup K_{\alpha_1,\alpha_2}$ در نتیجه کمر آن برابر ۴ است. با بررسی سایر حالات که به آسانی انجام می‌شود، می‌توان قضایای زیر را نتیجه گرفت.

$$\text{قضیه ۸-۲} \quad m = \text{gr}(\Gamma_n(\mathbb{Z}_m)) = 4 \quad \text{اگر } \alpha_1, \alpha_2 \geq 2 \text{ و } n = p_1^{\alpha_1}p_2^{\alpha_2}$$

قضیه ۹-۲: گراف $\Gamma_n(\mathbb{Z}_m)$ جنگل است هرگاه یکی از گزاره‌های زیر برقرار باشد:

1. $m = n = p_1^{\alpha_1}p_2$, $\alpha_1 \geq 1$,
2. $m = n = p_1^{\alpha_1}$, $\alpha_1 \geq 2$,
3. $m = p_1^{\alpha_1}p_2$, $n = p_1^{\alpha_1}$, $\alpha_1 \geq 1$,
4. $m = p_1^{\alpha_1}$, $n = p_1^{\alpha_1-1}$, $\alpha_1 \geq 2$,
5. $m = p_1^3$, $n = p_1$.

می‌پردازیم. برای اختصار، $\Gamma_{\mathbb{Z}_n}(\mathbb{Z}_m)$ را با نماد $\Gamma_n(\mathbb{Z}_m)$ نشان می‌دهیم. در ادامه این بخش، فرض می‌کنیم $n = p_1^{\beta_1} \cdots p_t^{\beta_t}$ و $m = p_1^{\alpha_1} \cdots p_s^{\alpha_s}$ که $t \leq s$ اعداد اول متمایز هستند و برای هر $1 \leq i \leq t$ ، $0 < \beta_i \leq \alpha_i$. همچنین فرض می‌کنیم، m اول نیست.

تبصره ۵-۵: به آسانی می‌توان دید که $I(\mathbb{Z}_m)^* = \{d\mathbb{Z}_m \mid d|m, d \neq 1, m\}$.

لذا $|I(\mathbb{Z}_m)^*| = \prod_{i=1}^s (\alpha_i + 1) - 1$. پس بدیهی است که اگر $n|m$ ، آنگاه \mathbb{Z}_m یک مدول ضربی است. همچنین دو رأس $d_2\mathbb{Z}_m$ و $d_1\mathbb{Z}_m$ از $n\mathbb{Z}_m$ مجاورند اگر و تنها اگر $[d_1, d_2] = 1$. به علاوه اگر $d\mathbb{Z}_m \in I(\mathbb{Z}_m)^*$ ، آنگاه $n|d$ و $d\mathbb{Z}_m \in I(\mathbb{Z}_m)$ به همه رئوس دیگر $\Gamma_n(\mathbb{Z}_m)$ متصل است.

در قضایای زیر، قطر و کمر گراف $\Gamma_n(\mathbb{Z}_m)$ را ردهبندی می‌کنیم.

قضیه ۶-۵: گراف $\Gamma_n(\mathbb{Z}_m)$ کامل است اگر و تنها اگر یکی از گزاره‌های زیر برقرار باشد:

1. $m = p_1^{\alpha_1}p_2$, $n = p_1$, $\alpha_1 \geq 1$,
2. $m = p_1^{\alpha_1}$, $n = p_1$, $\alpha_1 \geq 2$,
3. $m = p_1^{\alpha_1}$, $n = p_1^2$, $\alpha_1 \geq 2$,
4. $m = n = p_1p_2$.

برهان: به آسانی از نتیجه ۳ مرجع [12] به دست می‌آید.

قضیه ۷-۲: فرض کنید گراف $\Gamma_n(\mathbb{Z}_m)$ کامل نباشد. در این صورت گزاره‌های زیر برقرارند:

۱. $\Gamma_n(\mathbb{Z}_m)$ ناهمبند است هرگاه $m = n$ و به ازای بعضی مقادیر i ، که $1 \leq i \leq s$ ، $\alpha_i \geq 2$.
۲. $m = n = \text{diam}(\Gamma_n(\mathbb{Z}_m)) = 3$ و $s \geq 3$ و $p_1 \cdots p_s \neq n$ هرگاه $\text{diam}(\Gamma_n(\mathbb{Z}_m)) = 2$.

برهان: با توجه به تبصره ۵-۵ و قضیه ۲-۳:

یک خوشه ماکزیمم در $\Gamma_n(\mathbb{Z}_m)$ است. حال تعریف می‌کنیم

$$X_1 = \{p_1^{r_1} \cdots p_s^{r_s} \mathbb{Z}_m \in V(\Gamma_n(\mathbb{Z}_m)) \mid 0 \leq r_1 < \beta_1\}$$

$$\text{و برای هر } 2 \leq j \leq t, \\ X_j = \{p_1^{r_1} \cdots p_s^{r_s} \mathbb{Z}_m \in V(\Gamma_n(\mathbb{Z}_m)) \mid \beta_i \leq r_i \leq \alpha_i, \text{ for } 1 \leq i \leq j-1, \\ 0 \leq r_j < \beta_j\}.$$

به وضوح هیچ یک از رئوس X_j به هم وصل نیست و چون $x_j \in X_j$ می‌توان همه رئوس X_j را با رنگ متناظر با x_j رنگ کرد. از آنجا که

$$V(\Gamma_n(\mathbb{Z}_m)) = W \cup (\bigcup_{j=1}^t X_j)$$

اثبات کامل است. \square

نتیجه‌گیری

در این مقاله، نشان داده شد برای هر R -مدول ضربی M ، اگر مکمل گراف M -اشتراکی ایدهآل‌های R رأس ایزوله نداشته باشد، همبند است و قطر آن حداقل ۳ می‌باشد و اگر شامل دور باشد، کمر آن حداقل ۴ است. بعلاوه، در حالتی که \mathbb{Z}_n یک R -مدول باشد، قطر و کمر مکمل گراف M -اشتراکی ایدهآل‌های \mathbb{Z}_n رده بندی و نشان داده شد این گراف تام ضعیف است.

تشکر و قدردانی

نویسنده مقاله از دانشگاه آزاد اسلامی واحد کرج به جهت حمایت مالی از این پژوهش، تشکر و قدردانی می‌نماید. همچنین از نظرات و پیشنهادات داوران محترم که باعث بهبود مقاله شده است، کمال تشکر را دارد.

برهان. کافی است دقت کنیم که اگر $m = p_1^{\alpha_1}, n = p_1, m = n = p_1 p_2$ که $\alpha_1 = 2, 3$ رأس است و در سایر حالات فوق، گراف $\Gamma_n(\mathbb{Z}_m)$ به صورت زیر می‌باشد:

1. $\Gamma_n(\mathbb{Z}_m) = \bar{K}_{\alpha_1-1} \cup K_{1,\alpha_1}, \alpha_1 \geq 2,$
2. $\Gamma_n(\mathbb{Z}_m) = \bar{K}_{\alpha_1-1},$
3. $\Gamma_n(\mathbb{Z}_m) = K_{1,2\alpha_1-1},$
4. $\Gamma_n(\mathbb{Z}_m) = K_{1,\alpha_1-2}, \alpha_1 \geq 3.$

در پایان، نشان می‌دهیم گراف $\Gamma_n(\mathbb{Z}_m)$ تام ضعیف است.

قضیه ۱۰-۲. گراف $\Gamma_n(\mathbb{Z}_m)$ تام ضعیف است و بعلاوه اگر $\Gamma_n(\mathbb{Z}_m)$ کامل نباشد، داریم $\chi(\Gamma_n(\mathbb{Z}_m)) = \omega(\Gamma_n(\mathbb{Z}_m)) = \prod_{i=1}^t (\alpha_i - \beta_i + 1) \prod_{i=t+1}^s (\alpha_i + 1) - 1 + t.$

برهان. واضح است که اگر $\Gamma_n(\mathbb{Z}_m)$ کامل باشد، تام ضعیف است. پس فرض کنیم کامل نباشد. بنابر قضیه ۲، مرجع [12]

$$\omega(\Gamma_n(\mathbb{Z}_m)) = \prod_{i=1}^t (\alpha_i - \beta_i + 1) \prod_{i=t+1}^s (\alpha_i + 1) - 1 + t.$$

در واقع اگر قرار دهیم

$$W = \{p_1^{r_1} \cdots p_s^{r_s} \mathbb{Z}_m \in V(\Gamma_n(\mathbb{Z}_m)) \mid \beta_j \leq r_j \leq \alpha_j, \text{ for } 1 \leq j \leq t\}$$

و $1 \leq j \leq t$ که برای هر $x_j = \{x_1, \dots, x_t\}$ آنگاه $x_j = p_j^{\beta_j-1} \prod_{i \neq j} p_i^{\alpha_i} \mathbb{Z}_m$ رئوس

فهرست منابع

graph of submodules of a module, J. Algebra Appl. 11 (1) (2012) 1250019.

[11] F. Heydari, The M-intersection graph of ideals of a commutative ring, Discrete Math. Algorithms Appl. 10 (3) (2018) 1850038.

[12] S. Khojasteh, The intersection graph of ideals of \mathbb{Z}_m , Discrete Math. Algorithms Appl. 11 (4) (2019) 1950037.

[۱] رجائی، سعید، گراف جمع زیرمدول‌های غیر اساسی، پژوهش‌های نوین در ریاضی، ۵(۱۳۹۸)، ۱۳۴-۱۲۱.

[۲] برزگر، حسن، احاطه‌گری و نمایش گراف اشتراکی روی فضاهای توپولوژی، پژوهش‌های نوین در ریاضی، ۴(۱۳۹۷)، ۱۴۸-۱۳۷.

[۳] امجدی، جعفر، برخی خواص و عدد احاطه‌گر متمم یک گراف جدید وابسته به یک حلقه جابجایی، پژوهش‌های نوین در ریاضی، ۳(۱۳۹۶)، ۱۱۰-۹۹.

[4] Z. Shafiei, M Maghasedi, F. Heydari, S. Khojasteh, The annihilating graph of a ring, Mathematical Sciences 12 (1) (2018) 1-6.

[5] R. Nikandish, H. R. Maimani, H. Izanloo, The annihilating-ideal graph of \mathbb{Z}_n is weakly perfect, Contributions to Discrete Mathematics 11 (1) (2016) 16-21.

[6] M. J. Nikmehr, F. Heydari, The M-regular graph of a commutative ring, Mathematica Slovaca 65 (1) (2015) 1-12.

[7] I. Chakrabarty, S. Ghosh, T. K. Mukherjee, M. K. Sen, Intersection graphs of ideals of rings, Discrete Math. 309 (2009) 5381-5392.

[8] S Akbari, F Heydari, M Maghasedi, The intersection graph of a group, J. Algebra Appl. 14 (5) (2015) 1550065.

[9] S. Akbari, H. A. Tavallaee, S. Khalashi Ghezelahmad, On the complement of the intersection graph of submodules of a module, J. Algebra Appl. 14 (8) (2015) 1550116.

[10] S. Akbari, H. A. Tavallaee, S. Khalashi Ghezelahmad, Intersection